

## (3) 極太異形棒鋼鉄骨を用いたSRCはりの力学特性

|           |       |
|-----------|-------|
| 住友金属工業(株) | ○小林洋一 |
| 住友金属工業(株) | 森本精洋  |
| 住友金属工業(株) | 飯村 修  |
| 住友金属工業(株) | 柳本泰伴  |

## 1. 緒 言

大型コンクリート構造物の地震に対する韌性向上、並びに施工能率向上の必要性から、大型橋梁基礎などは鉄骨コンクリート(SRC)化の傾向にあるが、従来SRCでは鉄骨とコンクリートとの付着強度が低いことから、発生するひび割れ幅が大きくなることが指摘されている。そこで筆者らは図1に示すように、SRC鉄骨のフランジ部を断面が8角形で溶接組立用平坦面とふし突起の両方を有する極太異形棒鋼(公称径70~160mm)とすることにより、コンクリートの打設性、並びにひび割れ分散性の改善を試みた。

ここでは4つの実験シリーズを通じて、極太異形棒鋼の付着特性を把握するとともに、極太異形棒鋼鉄骨を用いた模型SRCはり、並びに実大SRCはりの静的載荷実験、および模型SRCはりの交番繰返し載荷実験を実施し、耐荷性能およびひび割れ分散性等について検討したので、その結果を報告する。

## 2. 実験内容

4つの実験シリーズの内容は下記のとおりである。

2.1 引抜き付着試験(実験Ⅰ)<sup>1)</sup>

実験Ⅰシリーズでは、付着性能に優れた極太異形棒鋼のふし突起形状を見出すことを目的に、機械加工により8角形断面に製作した公称径100mmの供試棒鋼を、らせん筋で補強した辺長6d(d:公称径)のコンクリート立方体内に埋込み、引抜き付着試験を行った。供試棒鋼は、図2に形状を示すようにふしの立上り角度を45°とし、ふし高さをh=3, 5, 7mmに、ピッチをp=20, 40, 60mmに変化させ、これらを組合せた9体とふしのない1体の計10体とした。コンクリートは供試棒鋼が水平の状態で打設し、圧縮強度は本試験時に280kg/cm<sup>2</sup>であった。試験状況を図3に示す。

2.2 SRCはりの静的載荷実験(実験Ⅱ)<sup>2)</sup>

実験Ⅱシリーズでは、極太異形棒鋼鉄骨を用いたSRC部材の耐荷特性とひび割れ分散性を把握し、従来H鉄骨を用いた場合との比較検討を行うため小型模型SRCはりの静的載荷実験を行った。

載荷条件は曲げ卓越型(せん断スパン比3.6)とせん断卓越型(せん断スパン比1.5)の2種類とし、図4および表1に示す下記内容の供試体10体を製作した。  
 ④フルウェブ形式のH鉄骨を用いたSRC供試体(MH, SH),  
 ⑤ウェブ厚が2種類で、ラチスウェブ形式の極太異形棒鋼鉄骨使用SRC供試体(ML1, ML2, SL1, SL2),  
 ⑥ふしの効果把握のためML1, SL1に対して極太異形棒鋼のふし突起を省略し、表面にグリースを

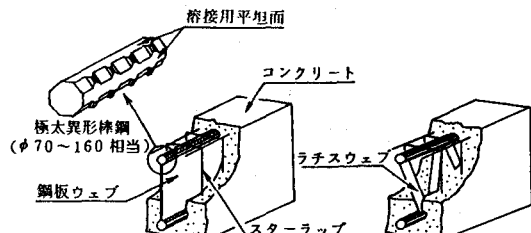


図1 極太異形棒鋼と極太異形棒鋼鉄骨のSRC

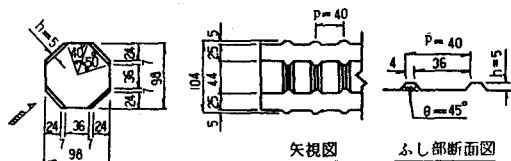


図2 供試棒鋼の形状例(実験Ⅰ)

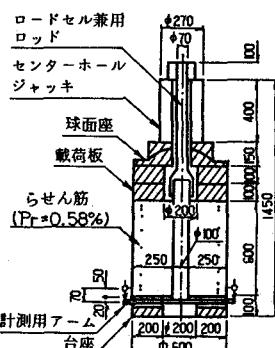


図3 試験状況(実験Ⅰ)

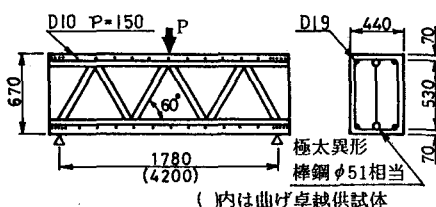


図4 供試体形状の一例（実験II）

塗布したSRC供試体（ML3, SL3）、せん断補強鋼材がスターラップのみであるRC供試体（MR, SR）。なお、実際の極太異形棒鋼は8角形断面で平坦面とふし突起部を有するが、ここでは供試体製作の都合上円形断面（φ51mm相当）とし、全周に高さ2mm、ピッチ30mmのふしを設け、若干コンクリートとの付着力を低下させたものを使用した。供試鋼材の機械的性質を表2に、コンクリートの性質を表3に、および模型極太異形棒鋼の付着試験結果を表4に示す。

### 2.3 実大SRCはりの静的載荷実験（実験III）<sup>3)</sup>

実験IIIシリーズでは、従来鉄筋径を大きく越える極太異形棒鋼を鉄骨フランジ材として使用する際に、太径化がSRC部材の耐荷特性に及ぼす影響を調査するため、極太異形棒鋼鉄骨を用いたSRCはりの実大模型供試体（U-1）とその1/2.2模型供試体（U-2）の計2体を製作し、せん断スパン比2.1の条件で静的載荷実験を行った。

供試体の形状および内容を図5、および表5に示す。なお、極太異形棒鋼としては、実大模型の場合、実験Iの付着試験結果から形状を決定したφ110mm相当試圧延材を使用し、小型模型の場合は実験IIシリーズと同様φ51mm相当機械加工材を使用した。供試鋼材の機械的性質を表6に、コンクリートの性質を表7に示す。

### 2.4 SRCはりの繰返し載荷実験（実験IV）<sup>4)</sup>

実験IVシリーズでは、極太異形棒鋼鉄骨を用いたSRC部材の地震時の基本耐荷特性を把握することを目的に、はり模型の静的交番繰返し載荷実験を実施した。

供試体は曲げ卓越、並びにせん断卓越の各載荷条件に対し、実験IIシリーズと同一形状の計8体（MH, ML1, ML2, MR, 並びにSH, SL1, SL2, SR）とした。荷重の増減は変位制御で行い、RC供試体（MR, SR）の各短期許容設計荷重時はり中央変位δ₀を基準として、中央変位δが目標値δ/δ₀ = 1, 3, 5, 7, 10

（せん断卓越載荷ではさらに20, 30）にて一旦除荷し、負側にも同一変位振幅を与え、この正負変位振幅で3回繰返し載荷を行った後、次の目標変位に進めることとした。なお、加力は供試体の上下方向から2つ

表1 供試体の内容（実験II）

| 曲げ卓越 | せん断卓越 | 使用鋼材比 | 備考                      |
|------|-------|-------|-------------------------|
| MH   | SH    | 1.00  | 鉄骨H490×200×6×102        |
| ML1  | SL1   | 0.81  | 極太異形棒鋼 φ51, ラチスt16×b50  |
| ML2  | SL2   | 0.92  | 極太異形棒鋼 φ51, ラチスt16×b100 |
| ML3  | SL3   | 0.81  | 極太異形棒鋼 φ51, ラチスt16×b50  |
| MR   | SR    | 0.65  | 極太異形棒鋼 φ51を鉄筋使用         |

表2 供試鋼材の機械的性質（実験II）

| 材 料      | 耐力(Kg/mm²) | 引張強さ(Kg/mm²) | 伸び(%) | 備 考    |
|----------|------------|--------------|-------|--------|
| 鋼板 t10.2 | 30.2       | 47.0         | 31.4  | Hフランジ材 |
| 鋼板 t6    | 32.9       | 44.9         | 30.6  | Hウェブ材  |
| 鋼板 t16   | 24.3       | 43.6         | 33.4  | ラチス材   |
| 丸鋼 φ51   | 44.1       | 54.6         | 18.9  | 極太異形棒鋼 |
| 鉄筋 D19   | 37.0       | 55.2         | 33.0  | 曲げ鉄筋   |
| 鉄筋 D10   | 40.9       | 58.2         | 27.6  | スターラップ |

表3 コンクリートの性質（実験II）

| 圧縮強度(%f) | 引張強度(%f) | ヤング率(%E)             | 備考   |
|----------|----------|----------------------|------|
| 25.2     | 21.0     | 2.09×10 <sup>5</sup> | 4週強度 |

表4 極太異形棒鋼の付着強度（実験II）

| 初期付着強度(f₀, 0.25%) | 最大付着強度(f₀, 114%) | 備考                          |
|-------------------|------------------|-----------------------------|
| 6.2               | 114              | $\sigma_c = 252(\text{kg})$ |

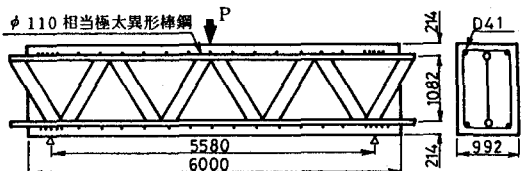


図5 実大供試体形状（実験III）

表5 供試体の内容（実験III）

| 供試体 | はりの幅×高さ  | 曲げ補強鋼材量(%) | せん断補強鋼材量(%) |
|-----|----------|------------|-------------|
| U-1 | 992×1510 | 1.64       | 1.37        |
| U-2 | 440×670  | 1.66       | 1.37        |

\* ラチス材はスターラップ換算

表6 供試鋼材の機械的性質（実験III）

| 分類     | 項目     | 耐力(Kg/mm²) | 引張強さ(Kg/mm²) | 伸び(%) | 使用供試体 |
|--------|--------|------------|--------------|-------|-------|
| 極太異形棒鋼 | φ110相当 | 22.4       | 46.2         | 34.7  | U-1   |
|        | φ51相当  | 50.5       | 56.1         | 21.6  | U-2   |
| 曲げ鉄筋   | D41    | 35.3       | 54.0         | 29.4  | U-1   |
|        | D16    | 36.1       | 54.7         | 26.7  | U-2   |
| ラチス材   | 鋼板 t36 | 24.6       | 40.4         | 35.2  | U-1   |
|        | 鋼板 t16 | 27.7       | 44.3         | 29.6  | U-2   |
| スターラップ | D22    | 36.6       | 56.3         | 22.3  | U-1   |
|        | D10    | 41.5       | 60.4         | 24.4  | U-2   |

表7 コンクリートの性質（実験III）

| 圧縮強度(%f) | 引張強度(%f) | ヤング率(%E)             | 備考   |
|----------|----------|----------------------|------|
| 202      | 18.8     | 1.74×10 <sup>5</sup> | 4週強度 |

表 8 供試鋼材の機械的性質（実験IV）

| 材<br>料    | 耐力 (Kg/cm <sup>2</sup> ) | 引張強さ (Kg/cm <sup>2</sup> ) | 伸び(%) | 備<br>考  |
|-----------|--------------------------|----------------------------|-------|---------|
| 鋼板 t 10.2 | 29.2                     | 48.9                       | 29.1  | H フランジ材 |
| 鋼板 t 6    | 26.3                     | 37.5                       | 31.7  | H ウエブ材  |
| 鋼板 t 16   | 24.3                     | 43.6                       | 33.4  | L チス材   |
| 丸鋼 φ 51   | 50.5                     | 63.9                       | 17.6  | 極太異形棒鋼  |
| 鉄筋 D 19   | 36.3                     | 54.5                       | 31.0  | 曲げ鉄筋    |
| 鉄筋 D 10   | 42.6                     | 62.2                       | 26.5  | スターラップ  |

の油圧ジャッキを交互に使用して行った。供試鋼材の機械的性質を表 8 に、コンクリートの性質を表 9 に、および極太異形棒鋼 (φ 51 mm 相当材) の付着強度を表 10 に示す。

### 3. 結果と考察

#### 3.1 引抜き付着試験（実験 I）

(A) 引抜き耐荷特性 引抜き付着試験から得られた各供試体の公称付着応力度  $\tau$  と自由端変位の関係を図 6 に示す（供試体 No. の添字はふし高さ  $h$  とピッチ  $p$  を表す）。これより次の事が明らかである。ふしの高さピッチ比が、 $h/p \leq 0.075$  の範囲 ( $U_3-60$ ,  $U_3-40$ ) では、加力初期よりすべりを生じ易く、他方  $h/p \geq 0.15$  の範囲 ( $U_3-20$ ,  $U_5-20$ ,  $U_7-20$ ) では、初期耐荷性能は良好であるが最大付着強度は他の供試体に比して低い。その点  $0.083 \leq h/p \leq 0.125$  の範囲では、初期耐荷性能は中間的傾向を示すが、公称最大付着強度  $\tau_{max}$  は  $80 \sim 90 \text{ Kg/cm}^2$  で最も高い。

(B) 付着強度の評価 供試棒鋼の  $\tau_{max}$  をコンクリート圧縮強度  $\sigma_c$  で無次元化し、過去の試験データ<sup>5), 6)</sup>とともに  $h/p$  で整理した結果を図 7 に示す。供試棒鋼は平坦面の存在により、従来 D 51 に比べ付着強度が  $15 \sim 35\%$  低いものの、学会許容値に対して 3 以上の安全率を有している。なお、引抜き荷重と平坦部の付着抵抗力（平坦部面積とふしなし供試体  $U_0$  の  $\tau_{flat} = 18 \text{ Kg/cm}^2$  の積）との差をふし頂面のコンクリートせん断面積で除した値を  $\tau^*$  とすると、図 8 に示すとおり、 $\delta = 0.25 \text{ mm}$  時の初期すべり時  $\tau^*/0.25$  と最大時の  $\tau^*_{max}$  の各々は、多少ばらつきはあるが、図中に示した実験式を用いて、平坦面の有無に関係なく  $h/p$  のみで評価できる。

上記諸点を総合的に判断すると、全体的な付着耐荷性能に優れ、かつふし突起部が占める材料割合を小さくし得る効率的な極太異形棒鋼のふし形状は、ピッチが高さの 10 倍程度と考えられる。

表 9 コンクリートの性質（実験 IV）

| 圧縮強度 (%) | 引張強度 (%) | ヤング率 (GPa)        |
|----------|----------|-------------------|
| 236      | 19.7     | $2.1 \times 10^5$ |

表 10 極太異形棒鋼の付着強度（実験 IV）

| 初期付着強度 $\tau$ (0.25 mm) | 最大付着強度 (%) | 備<br>考                             |
|-------------------------|------------|------------------------------------|
| 89                      | 142        | $\sigma_c = 236 \text{ (Kg/cm}^2)$ |

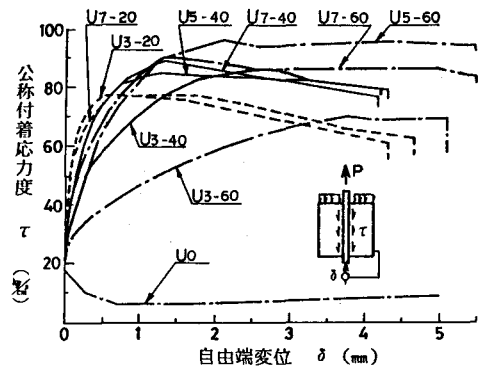
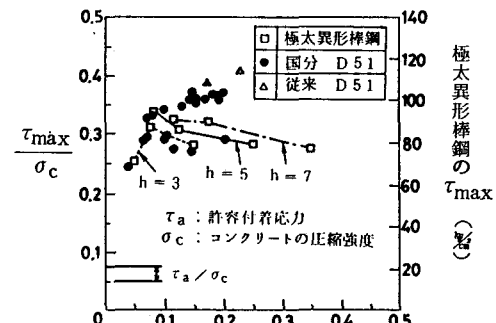
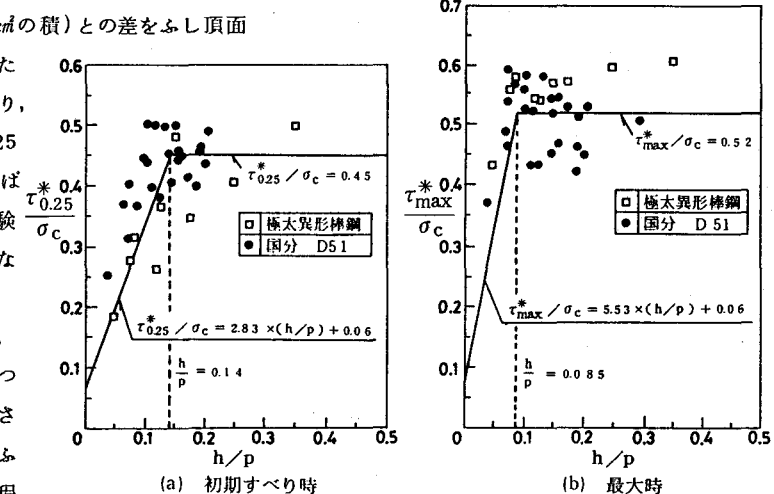


図 6 公称付着応力度と自由端変位（実験 I）

図 7  $\tau_{max}/\sigma_c$  と  $h/p$  (実験 I)図 8  $\tau^*/\sigma_c$  と  $h/p$  (実験 I)

### 3.2 S R C はりの静的載荷実験（実験Ⅱ）

(A) 耐荷特性 曲げ卓越並びにせん断卓越の両載荷条件における各供試体の荷重と変位の関係を図9, 10に示す。これらよりS R C部材の耐荷特性に関し、以下の事が明らかである。

(1) 曲げ卓越載荷： 破壊形式は、何れの供試体も引張側フランジ材が降伏する曲げ破壊を示し、ラチス材の大小（ML1, ML2）が耐荷特性に及ぼす影響はわずかである。また付着を切った棒鋼鉄骨供試体（ML3）の初期耐荷性能は、ふし突起を有する供試体（ML1）に比べて劣っている。

(2) せん断卓越載荷： 破壊形式はR C供試体（SR）がせん断破壊を示すが、その他の供試体では曲げで引張側フランジ材が降伏した後ウェブ材が降伏する曲げせん断破壊を示す。また、ラチス材を大きくすれば（SL2），せん断耐力並びに耐荷性能も向上し、H鉄骨を用いた供試体（SH）とほぼ同等の性能が得られる。他方付着を切った棒鋼鉄骨供試体（SL3）の最大耐力は、ふし突起を有する供試体（SL1）のそれとほぼ同等であるが、初期の耐荷性能は劣っている。

以上より、極太異形棒鋼の鉄骨化により構造物は観り強さを付与され、かつふしの効果で初期耐荷性能が大幅に改善されるといえる。

(B) コンクリートと鋼材の一体性 コンクリートと鋼材の付着状況を検討するため、供試体端部でコンクリートと鋼材の相対変位 $\delta^*$ を測定した結果を図11に示す。これより、H鉄骨を用いたS R C供試体（SH）および付着を切った棒鋼鉄骨供試体（SL3）では、何れも載荷初期から引張側フランジ材とコンクリートのずれが生じるが、極太異形棒鋼鉄骨供試体（SL1, SL2）では引張側フランジ材が降伏するまで $\delta^*$ 量が小さく、ふしの効果でコンクリートと鋼材の一体性は良好である。なお、S R C規準<sup>7)</sup>の考え方を準じてラチス材のせん断力の分担を考慮し、局部付着応力度の検討を行うと、極太異形棒鋼鉄骨供試体（SL2）では曲げせん断破壊した $P_{max} = 189 t$ で、極太異形棒鋼に要求される付着応力度は $\tau_{max} = 50 kg/cm$ であり、一方R C供試体（SR）では $P_{max} = 124 t$ に対して $\tau_{max} = 56 kg/cm$ であった。これらの事から極太異形棒鋼の必要付着力は、鉄骨化により同一荷重レベルの鉄筋的使用に比べ、約60%で良いことが判る。

(C) ひび割れ分散性 付着に対して厳しいせん断卓越条件にて、コンタクトゲージを用いてはり下面の最大ひび割れ幅を測定した結果を図12に示す。これより、引張側鋼材が降伏する荷重 $P \approx 135 t$ で比較すると、極太異形棒鋼鉄骨供試体（SL1, SL2）のひび割れ幅は、H鉄骨供試体（SH）のそれの50~80%と小さく、また、付着を切った棒鋼鉄骨供試体（SL3）の20~50%であり、ふしの付着によるひび割れ分散効果が認められる。これらのことから、極太異形棒鋼を用いればひび割れ幅を小さくでき、耐久性の見地から

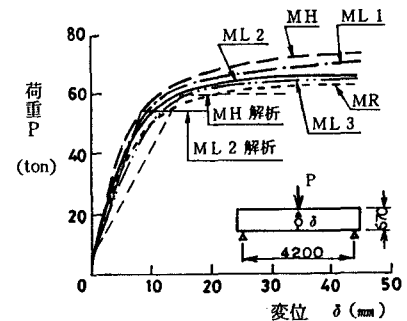


図9 曲げ卓越条件での $P - \delta$ （実験Ⅱ）

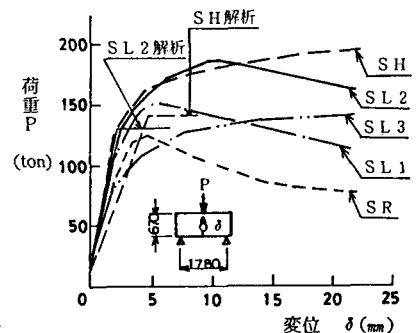


図10 せん断卓越条件での $P - \delta$ （実験Ⅱ）

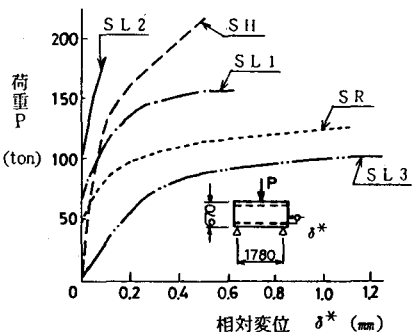


図11 せん断卓越条件での鋼材とコンクリートの相対変位（実験Ⅱ）

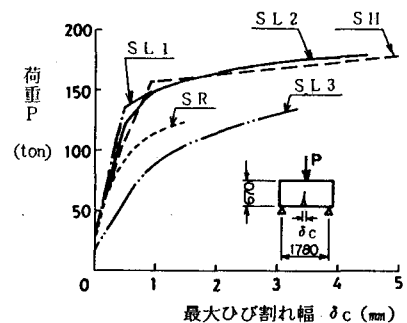


図12 せん断卓越条件でのはり下面最大ひび割れ幅（実験Ⅱ）

良好といえる。

(D) S R C 構造の耐荷性能の評価 耐力は、H 鉄骨使用供試体では累加強度式により評価し、極太異形棒鋼鉄骨使用供試体ではコンクリートとの一体性が良かったのでこれを鉄筋と見なし、ラチス材にせん断力を一部分担させる方法で評価した。また変形は、曲げ剛性並びにせん断剛性に対し、ひび割れの進展を考慮した補正を行った。結果は図 9, 10 に示すように、実用範囲内で耐荷性能を概略説明できる。<sup>8)(9)</sup>

### 3.3 実大 S R C はりの静的載荷実験（実験Ⅲ）

(A) 耐荷特性  $\phi 110 \text{ mm}$  相当の極太異形棒鋼試圧延材 ( $h/p = 0.13$ ) を用いた実大供試体(U-1)と縮尺  $1/2.2$  の小型供試体(U-2)の荷重  $P$  とはりの中央変位  $\delta$  の関係を図 13 に、また前節の耐荷性能の評価手法を用いて各供試体の  $P$  並びに  $\delta$  を計算曲げ終局耐力  $P_{MC}$  および  $P_{MC}$  に到達時の計算変位  $\delta_c$  で無次元化した結果を図 14 に示す。これより、曲げ並びにせん断補強鋼材比が同一の実大はりと小型はりの無次元化された剛性および耐力は、引張側鋼材が降伏するまで寸法によらずほぼ同等で、相似則が成立していると考えられる。すなわち、ラチス鉄骨化した S R C 構造では、異形棒鋼の太径化がはりの耐荷特性に及ぼす影響は小さいと考えられる。なお、実大供試体端部のコンクリートと引張側鋼材の相対変位は最大  $0.2 \text{ mm}$  であり、コンクリートと鋼材の一体性は良好で、図 13 に示したとおり前節で述べた耐荷性能の評価手法は、実大はりに対しても十分適用できる。

(B) ひび割れ分散性 ひび割れ幅と鋼材のコンクリートかぶりの関係を把握する意味で、実験Ⅲにおいてもはり下面のひび割れ幅を測定した。引張側鋼材応力が長期許容応力値に至った時の最大ひび割れ幅とかぶりの関係を図 15 に示す。これより、ひび割れ幅はかぶり量に依存し、限界状態設計指針(案)<sup>10)</sup>と傾向的に一致しており、8 角形断面で平坦面を有する極太異形棒鋼を用いても、ひび割れ分散性が良好なものと推察される。

### 3.4 S R C はりの繰返し載荷実験（実験Ⅳ）

(A) 耐荷特性 繰返し載荷実験より得られた各供試体の履歴曲線を数例図 16, 17 に示す。また、各供試体の変形能に関わるウェブ形式と韌性の関係を表 11 に示す。これらより耐荷特性について以下の事が判る。

(1) 曲げ卓越載荷：

図 16 SL 2 の履歴曲線（実験Ⅳ）

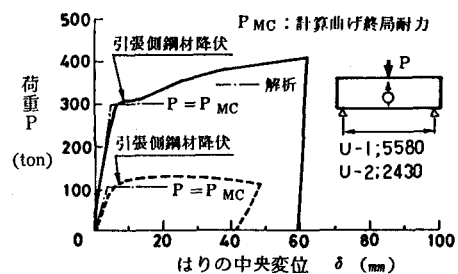


図 13  $P - \delta$  (実験Ⅲ)

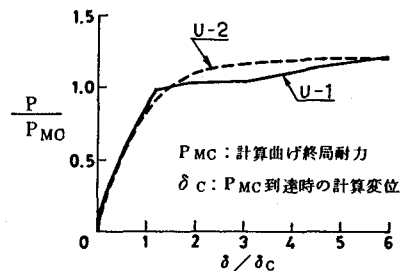


図 14  $P / P_{MC} - \delta / \delta_c$  (実験Ⅲ)

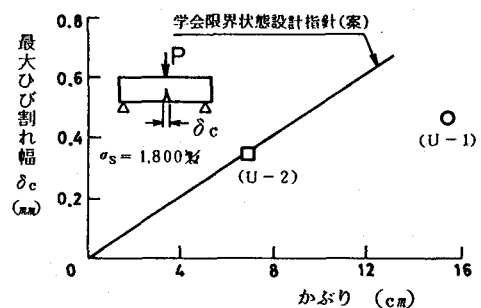


図 15 かぶりと最大ひび割れ幅 (実験Ⅲ)

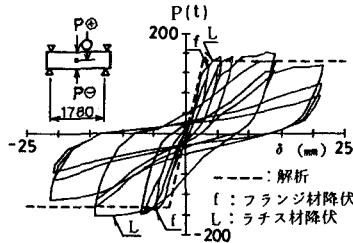


図 16 SL 2 の履歴曲線（実験Ⅳ）

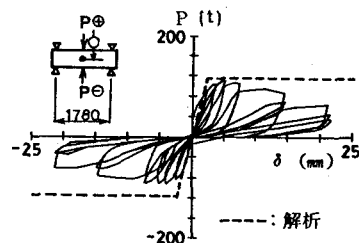


図 17 SR の履歴曲線（実験Ⅳ）

### ピーク包絡線で見た各供試

体の耐荷特性に関する実験（

#### 実験 II のまとめと類似性

列傳二十一

## 耐力に及ぼすノンハ物の入

小の影響は小さい。しかし

極太異形棒鋼鉄骨を用いた

### 供試体(ML1, ML2)の観

性率は、RC供試体(MR)

に比べて1.4倍以上あり、

### 熱的実験に比べて分子構造

### 七、標性向量與誤差向量

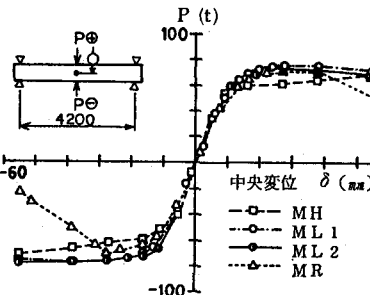


図 18 曲げ卓越条件での  $P - \delta$   
包絡線（実験IV）

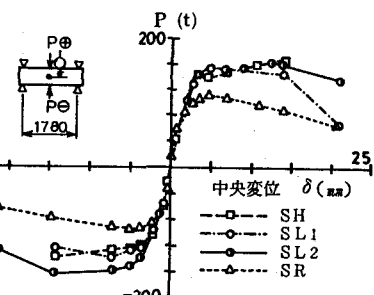


図 19 せん断卓越条件での  $P - \delta$   
包絡線（実験 IV）

(2) 通合植物学

(2) セン断単載荷： 各供試体の耐荷特性はやはり静的実験と類似であるが、ラチス材が小さい極太異形棒鋼鉄骨供試体(SL1)は、曲げ鋼材の降伏に先行してラチス材が降伏するせん断破壊を示し、繰返し載荷によるコンクリートの劣化の影響が現れたものと考えられる。他方ラチス材面積をSL1の2倍とした供試体(SL2)では、曲げ破壊が先行するとともに韌性率も大きく向上し、かつH鉄骨を用いた場合(SH)とほぼ同等のエネルギー吸収能力が得られ、耐力並びに韌性に及ぼすラチス材の大小の影響が大きい。

以上より、繰返し荷重条件下では静的条件下よりもさらにせん断補強の必要性が大きく、極太異形棒鋼をラチカルすることにより、地震時変形性能を向上させることができ条件でも本報告で述べた耐荷変形性能の評価手法が有効

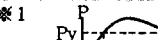
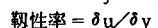
(B) コンクリートと鋼材の一体性並びにひび割れ分散棒鋼鉄骨を用いた供試体(SL1, SL2)のコンクリート大ひび割れ幅は、H鉄骨フランジ材の降伏荷重P=107さく、ひび割れ分散性も良好である。

## 4. 結 言

以上4つの実験シリーズから、極太異形棒鋼並びにこれをラチス材とともに鉄骨化したSRCはりに関する事が判明した。①付着耐荷性能に優れる極太異形棒鋼のふし形状は、ピッチが高さの10倍程度である。②極太異形棒鋼をラチス材とともに鉄骨化すると、コンクリートはりの韌性が向上し、ひび割れ分散性も良好である。また、棒鋼の太径化が耐荷性能に及ぼす影響は小さい。③極太異形棒鉄骨を用いたSRCはりの耐力および変形は、極太異形棒鋼を鉄筋と見なし、かつラチス材のせん断力分担を考慮した評価手法で概略説明できる。

参考文献

- 1), 2) 森本, 小林: 土木学会第40回年次学術講演会, 第5部門, P 415, P 411, S 60. 9      3), 4) 森本, 小林: 土木学会第41回年次学術講演会, 第5部門, S 61. 11      5) 国分, 岡村: 土木学会論文報告集, №202, 1972年6月  
 6) 土木学会: コンクリートライブラー, 第43号, 1977年8月      7) 本四公団: 鉄骨鉄筋コンクリート構造 設計指針・同解説, S 52. 8      8) Branson, D. E.: Jour. of ACI, vol. 63, №6, P 638, 1966      9) 武藤: 鉄筋コンクリート構造物の塑性設計, P 200, 丸善, S 55      10) 土木学会: コンクリートライブラー, 第52号, S 58. 11

| 供試体  | 韌性率 <sup>※1</sup> | 韌性能 <sup>※2</sup> | 備考   |
|------|-------------------|-------------------|--|
| MH   | 7.8 以上            | 79                | ※1   |
| ML 1 | 5.2 以上            | 75                |  |
| ML 2 | 5.2 以上            | 63                | ※2   |
| MR   | 3.8               | 23                |  |
| SH   | 6.9 以上            | 130               |  |
| SL 1 | 1.0               | 97                | 実験値 計算値<br>韌性能 = $A_1/A_2$ (短期)  |
| SL 2 | 6.8               | 119               | at $\delta/\delta_o = 10$ (曲げ)<br>$\delta/\delta_o = 20$ (せん断)                     |
| SR   | —                 | 57                |  |